



## کاربرد روش‌های با دقت مرتبه‌ی بالا (NVD) در حل معادلات ضربه‌ی قوچ در سیستم‌های آبرسانی

میلاد لطیفی<sup>۱</sup>، محسن دوازده‌امامی<sup>۲</sup>، محمد رضا چمنی<sup>۳</sup>

۱- دانشجوی کارشناسی ارشد مهندسی عمران-آب، دانشکده مهندسی عمران، دانشگاه صنعتی اصفهان

۲- استادیار دانشکده مکانیک، دانشگاه صنعتی اصفهان

۳- دانشیار دانشکده مهندسی عمران، دانشگاه صنعتی اصفهان

milad.latifi@yahoo.com

### خلاصه

بررسی، مطالعه و کنترل پدیده‌ی ضربه‌ی قوچ یکی از مهمترین دغدغه‌های مهندسین طراح خطوط انتقال آب است. با توجه به نوع معادلات حاکم بر جریان ناماندگار، از سالیان دور تاکنون روش‌های مختلفی برای حل عددی این مسئله ارائه شده است. در سال‌های اخیر، روش‌های مبتنی بر احجام محدود برای حل معادلات ضربه‌ی قوچ توسعه یافته است. روش‌هایی با دقت مرتبه بالا (مبنی بر نمودار تغییر نرمال شده (NVD)) از جمله روش‌هایی هستند که در سالیان اخیر در حل بسیاری از مسائل مکانیک سیالات بکار رفته‌اند. در پژوهش حاضر این روش برای اولین بار در تحلیل جریان ناماندگار استفاده شده است. نتایج حاصل، نشان‌گر دقت بالای روش و همخوانی آن با مدل‌های عددی پیشین می‌باشد.

**کلمات کلیدی:** ضربه‌ی قوچ، جریان ناماندگار، روش احجام محدود، روش NVD

### ۱. مقدمه

مطالعه‌ی جریان ناماندگار و پدیده‌ی ضربه‌ی قوچ در مهندسی آب از اهمیت ویژه‌ای در طراحی و تخمین عملکرد سیستم برخوردار است. عوامل عمدی ایجاد جریان ناماندگار عبارتند از: باز کردن و بستن شیرهای قطع و وصل، روشن و یا خاموش کردن پمپ‌ها، بهره‌برداری از شیرهای یک طرفه، خلا، فشارشکن و غیره، ترکیدن لوله‌ها و غیره. بروز پدیده‌ی ضربه قوچ می‌تواند باعث ایجاد فشارهای اضافی، صدا، کاویتاسیون و لرزش در خطوط انتقال آب شود<sup>[۱]</sup>. اگرچه این پدیده در شبکه‌های توزیع آب چندان نگران کننده نیست، اما بروز آن در خطوط آبرسانی می‌تواند موجب ایجاد خسارات‌های وسیع در خط انتقال و تجهیزات مرتبط با آن شود. میزان این خسارت‌ها بستگی به عوامل متعدد از جمله خصوصیات فیزیکی سیستم و تجهیزات به کار رفته در آن دارد. از این روزت که امروزه بررسی پدیده‌ی ضربه قوچ و درنظر گرفتن تمیهیات ویژه برای مهار آن از ضروریات طراحی یک خط انتقال آب است.

مهندسان از سال‌های دور با این پدیده آشنا بودند. شاهد این امر تحقیقاتی است که بیش از ۱۵۰ سال پیش بر روی پدیده‌ی ضربه‌ی قوچ انجام گرفته است. به طور کلی برای تحلیل هیدرولیکی پدیده‌ی ضربه قوچ دو روش عمده ارائه شده است<sup>[۱]</sup>. در روش اول که به نام روش نظریه‌ی غیرالاستیک شناخته می‌شود، سیال یک ماده‌ی تراکم‌نایزیر و جداره‌ی لوله نیز غیرقابل انعطاف در نظر گرفته می‌شود. معادله‌ی بیان کننده‌ی این حالت از معادله‌ی اندازه حرکت بدست می‌آید و از نوع دیفرانسیل ساده بوده و به راحتی قابل حل است. در روش دوم موسوم به روش الاستیک، خواص الاستیک سیال و لوله درنظر گرفته می‌شوند. معادلات بیان کننده‌ی این روش عبارتند از: معادله‌ی پیوستگی و معادله‌ی اندازه حرکت، که با درنظر گرفتن اثرات ناماندگاری نوشته می‌شوند. این دو معادله از نوع دیفرانسیلی جزئی بوده و تاکنون حل تحلیلی برای آن‌ها ارائه نشده است. به همین دلیل حل معادلات حاکم بر ضربه‌ی قوچ به روش الاستیک نیازمند به کارگیری روش‌های عددی است.



## ۲. معادلات حاکم بر پدیده ضربه قوچ و روش‌های فلی حل آن

بر اساس روش نظریه‌ی الاستیک، برای تحلیل پدیده ضربه قوچ در لوله‌ها، روابط کامل پیوستگی<sup>۱</sup> و اندازه‌ی حرکت<sup>۲</sup> به قرار زیر است:

$$\frac{\partial H}{\partial t} + V \frac{\partial H}{\partial x} + \frac{a^2}{g} \left( \frac{\partial V}{\partial x} \right) - V \sin \alpha = 0 \quad (1)$$

$$\frac{\partial V}{\partial t} + V \frac{\partial V}{\partial x} + g \frac{\partial H}{\partial x} + \left( \frac{f}{2D} \right) V |V| = 0 \quad (2)$$

گه در آن  $V$  و  $H$  سرعت و هد فشار جریان،  $a$  سرعت انتشار موج،  $g$  شتاب ثقل،  $\alpha$  زاویه‌ی خط لوله با افق،  $f$  ضریب اصطکاک دارسی-وايساخ،  $D$  قطر لوله و  $x$  و  $t$  مؤلفه‌های مکانی و زمانی پارامترهای سرعت و فشار هستند. در روابط بالا اگر جمله‌های جابه‌جایی<sup>۳</sup> (جمله‌های دوم) حذف شوند، روابط تقریبی ضربه‌ی قوچ و نیز اگر روابط تقریبی ترم‌های اصطکاک و شب خط لوله حذف شوند، روابط کلاسیک ضربه‌ی قوچ بدست خواهد آمد [۲].

برای حل معادلات (۱) و (۲) روش‌های متعددی ارائه شده است. در روش مشخصه‌ها<sup>۴</sup> (MOC) با انجام ترکیب خطی، معادلات دیفرانسیل جزئی پیوستگی و اندازه‌ی حرکت به دو معادله‌ی دیفرانسیلی کلی<sup>۵</sup> تبدیل می‌شوند. سپس این معادلات به صورت اختلاف متناهی<sup>۶</sup> نوشته شده و توسط رایانه حل می‌شود [۱]. این روش به دلیل پایداری بالا، پیش‌بینی شرایط مرزی مختلف، در نظر گرفتن اثر افت هد فرعی، قابلیت حل سیستم‌های پیچیده، داشتن بیشترین دقیق در بین روش‌های اختلاف متناهی دارای بیشترین کاربرد در حل مسائل ضربه‌ی قوچ است، به طوری که در اغلب نرم‌افزارهای تحلیل ضربه‌ی قوچ به کار گرفته شده است [۳].

توسعه‌ی روش‌های حل عددی همچون اختلاف متناهی، المان‌های محدود<sup>۷</sup> و احجام محدود<sup>۸</sup> سبب شده است تا محققان بسیاری به حل پدیده‌ی ضربه‌ی قوچ با استفاده از این روش‌ها روی آورند [۲]. در روش اختلاف متناهی با گسته‌سازی و تبدیل مستقیم معادلات دیفرانسیل به معادله‌ی گسته‌سازی، معادلات به مجموعه‌ای از معادلات جبری قابل حل تبدیل می‌شوند. در روش المان‌های محدود این کار با انتگرال گیری روی المان‌ها و استفاده از توابع شکل خطی، درجه دوم و یا مرتبه بالاتر انجام می‌شود. در روش احجام محدود نیز با انتگرال گیری روی وجه و به کار گیری تابع شکل خطی معادلات گسته‌سازی می‌شوند.

به کار گیری روش‌های مبتنی بر احجام محدود در حل مسئله‌ی ضربه‌ی قوچ سابقه‌ی چندانی ندارد. نخستین بار گینو<sup>۹</sup> (۲۰۰۰) در پژوهشی حل گرهای ریمان<sup>۱۰</sup> را برای حل مسئله‌ی ضربه‌ی قوچ به کار گرفت. مدلی که وی ایجاد کرد، اگرچه بسیار سریع بود، اما در چگالی‌های پایین و سرعت‌های کم دقت اندکی داشت و جواب‌های غیردقیق ارائه می‌کرد [۴]. گینو (۲۰۰۲) همچنین در پژوهش دیگری به تکمیل یافته‌های پیشین خود پرداخت [۵]. هوانگ و چونگ (۲۰۰۲) به معرفی روش حل مسئله‌ی ضربه‌ی قوچ با استفاده از روش گادانوف<sup>۱۱</sup> سریع مرتبه دوم پرداختند [۶]: نتایج ایشان اگرچه در برخی موارد تطابق خوبی با نتایج تحلیل داشت (بهخصوص در نزدیکی جبهه‌ی موج که گرادیان زیادی وجود دارد)، اما در اغلب موارد دارای جابه‌جایی (Shift) زمانی بود. لازم به ذکر است که ایشان در حل خود از اثر اصطکاک که صرف نظر کرده بودند. ژانو و گیدوینی (۲۰۰۴) هم به حل معادلات ضربه‌ی قوچ با استفاده از روش مرتبه اول و دوم گادانوف پرداختند [۷]. آن‌ها با مقایسه روش‌های خود با روش مشخصه‌ها با درون‌یابی روی خط مکانی دریافتند جواب‌های روش گادانوف مرتبه اول همانند جواب‌های روش مشخصه‌های با درون‌یابی مکانی است. از سوی دیگر آن‌ها روش گادانوف مرتبه دوم را بسیار سریع، دقیق و با پایداری بالا یافتند. آن‌چه در نتایج کار ژانو و گیدوینی جالب توجه است این است که در مقایسه‌ی بین نتایج با عده‌های کورانت مختلف، لازم است حل با عدد کورانتی در حدود ۱/۰ انجام گیرد تا هد فشاری جداکننده با نتایج حل دقیق برابر کند و حل ایشان در اعداد کورانت کمتر، دقیق نیست. ضمن این که آن‌ها نتایج مطالعه‌ی موردنی خود را در شرایطی که اصطکاک وجود داشته باشد، در مقاله ذکر نکرده‌اند. همچنین، محققین دیگری روش گادانوف را برای تحلیل جریان نامانندگار در فاضلاب [۸]، جریان دو فازی [۹] و جریان کم عمق با سطح آزاد [۱۰] به کار برده‌اند.

<sup>1</sup> Continuity Equation

<sup>2</sup> Momentum Equation

<sup>3</sup> Convection Terms

<sup>4</sup> Method of Characteristics

<sup>5</sup> Total Differential Equation

<sup>6</sup> Finite Difference

<sup>7</sup> Finite Elements

<sup>8</sup> Finite Volumes

<sup>9</sup> Guinot

<sup>10</sup> Riemann Solvers

<sup>11</sup> Godunov

از به کار گیری روش های مبتنی بر  $NVD$  هم زمان زیادی نمی گذرد. درویش و مقلد (۱۹۹۷) فرمول بندی  $NVD$  برای روش های با دقت بالا به کار گرفتند [۱۱]. آن ها برای انجام حل خود از محدود کننده هایی<sup>۱</sup> چون  $MUSCL$  و  $MINMOD$  و  $OSHER$  و غیره استفاده کردند و بهترین نتایج را با محدود کننده های  $STOIC$  و  $SMART$  کسب کردند. نتایج بدست آمده از مدل درویش و مقلد نشان می دهد بهترین محدود کننده های به کار گرفته شده توسط ایشان، حداقل مقدار پارامتر را با  $20$  درصد خطای پیش بینی می کند و این خطای در سایر موارد تا  $40$  درصد نیز می رسد. درویش و مقلد (۲۰۰۳) در پژوهشی با معروفی روش جدیدی موسم به  $\chi$  به فرمول بندی جدیدی بر مبنای روش های قبلی دست یافتد [۱۲]. حل چند مسئله نمونه با استفاده از این روش پایداری بیشتری را نسبت به روش های پیشین نشان می دهد.

### ۳. روش حل ارائه شده

مطابق آنچه در مقالات پیشین دیده شد، روش های مختلف احجام محدود برای حل مسئله ضربه ای قوچ به کار گرفته شدند. روش  $NVD$  تاکنون تنها در جریان سیال تراکم پذیر (گازها) و تراکم ناپذیر استفاده شده است و هیچ یک از محققین از این روش در حل مسائل هیدرولیک (از جمله ضربه ای قوچ) استفاده نکرده است. در این بخش گسته سازی معادلات حاکم به روش *Upwind* انجام می شود و سپس روش اعمال دقت های مرتبه بالاتر به روش  $NVD$  بیان می گردد.

برای گسته سازی جملات مشتق مکانی به روش *Upwind* بر مبنای جهت حرکت موج عمل می شود. شکل (۱) این روش گسته سازی را نشان می دهد.

$$(b) \quad \frac{\partial \phi}{\partial x} = \frac{\phi_e - \phi_w}{\Delta x} = \frac{\phi_p - \phi_w}{\Delta x}$$

$$(a) \quad \frac{\partial \phi}{\partial x} = \frac{\phi_e - \phi_w}{\Delta x} = \frac{\phi_e - \phi_p}{\Delta x}$$

شکل ۱: گسته سازی به روش *Upwind*; (الف) موج پایین دست، (ب) موج بالا دست

برای گسته سازی جملات مشتق زمانی از روش یک گامی  $\theta$  استفاده می شود:

$$\phi = \theta \phi^n + (1-\theta) \phi^{n-1} \quad (۳)$$

همچنین گسته سازی به خاطر جامیت به صورتی انجام شده که برای دقت مرتبه دوم به بالا قابل اجرا باشد، ولی برای پایداری حل عددی مطابق روش *Deferred Correction* جملات مرتبه دوم را جدا کرده و اختلاف آن در جمله چشممه قرار گرفته است [۱۳].

#### • گسته سازی معادله پیوستگی

معادله (۱) با صرف نظر از جمله جابجا شدن و فرض لوله افقی به صورت زیر نوشته می شود:

$$\frac{\partial H}{\partial t} + \frac{a^2}{g} \left( \frac{\partial V}{\partial x} \right) = 0 \quad (۴)$$

این معادله پس از گسته سازی به معادله جبری زیر تبدیل می شود:

<sup>۱</sup> Limiter



$$\begin{aligned} \frac{\Delta x_p}{\Delta t} H_p^n + \frac{a^2}{g} \theta \left[ (V_e^n)_{up} - (V_w^n)_{up} \right] &= \\ \frac{\Delta x_p}{\Delta t} H_p^{n-1} - \frac{a^2}{g} \theta (V_e^{n-1} - V_w^{n-1}) + \frac{a^2}{g} \theta \gamma \left[ (V_e^* - V_w^*)_{up} - (V_e^* - V_w^*)_{HOS} \right] \end{aligned} \quad (5)$$

که در آن  $\Delta x$  طول المان،  $\Delta t$  فاصله بین دو گام زمانی،  $n$  و  $n-1$  به ترتیب گام فعلی و گام پیشین حل، اندیس  $up$  نشان‌دهنده جملات *upwind* اندیس  $HOS$  نشان‌دهنده جملات با دقیقیت مرتبه بالاتر هستند. همچنین،  $\gamma$  ضریب اختلاط بوده و نسبت به کارگیری روش با دقیقیت مرتبه بالا را نمایش می‌دهد.

معادله جبری (۴) به فرم فشرده چنین نوشته می‌شود:

$$A_p^H H_p + (A_p^V V_p + A_E^V V_E + A_W^V V_W) = S_u \quad (6)$$

که در آن:

$$A_p^H = \frac{\Delta x_p}{\Delta t} \quad (7)$$

در صورتی که  $a > 0$

$$A_W^V = -\frac{a^2}{g} \theta \quad A_E^V = 0 \quad A_p^V = A_W^V + A_E^V \quad (8)$$

در صورتی که  $a < 0$

$$A_W^V = 0 \quad A_E^V = \frac{a^2}{g} \theta \quad A_p^V = A_W^V + A_E^V \quad (9)$$

$$S_u = \frac{\Delta x_p}{\Delta t} H_p^{n-1} - \frac{a^2}{g} (1-\theta) (V_e^{n-1} - V_w^{n-1}) + \frac{a^2}{g} \theta \gamma \left[ (V_e^* - V_w^*)_{up} - (V_e^* - V_w^*)_{HOS} \right] \quad (10)$$

#### • گسسته‌سازی معادله اندازه حرکت

معادله (۲) با صرف نظر از جمله جابجایی چنین نوشته می‌شود:

$$\frac{\partial V}{\partial t} + g \frac{\partial H}{\partial x} + \frac{f}{2D} V |V| = 0 \quad (11)$$

این معادله نیز پس از گسسته‌سازی به معادله جبری زیر تبدیل می‌شود:

$$\begin{aligned} \frac{\Delta x_p}{\Delta t} V_p^n + g \theta \left[ (H_e^n)_{up} - (H_w^n)_{up} \right] + \frac{f}{2D} \theta V_p^n |V_p^*| \Delta x_p \\ = \frac{\Delta x_p}{\Delta t} V_p^{n-1} + g \theta \gamma \left[ (H_e^*)_{up} - (H_e^* - H_w^*)_{HOS} \right] - g (1-\theta) (H_e^{n-1} - H_w^{n-1}) - \frac{f}{2D} (1-\theta) V_p^{n-1} |V_p^*| \Delta x_p \end{aligned} \quad (12)$$

معادله جبری (۱۱) به فرم فشرده به صورت زیر نوشته می‌شود:

$$B_p^V V_p + (B_p^H H_p + B_E^H H_E + B_W^H H_W) = S_u \quad (13)$$

که در آن:

$$B_p^V = \frac{\Delta x_p}{\Delta t} + \frac{f}{2D} \theta |V_p^*| \Delta x_p \quad (14)$$

در صورتی که  $a > 0$

$$B_W^H = -g \theta \quad B_E^H = 0 \quad B_p^H = B_W^H + B_E^H \quad (15)$$

در صورتی که  $a < 0$

$$B_W^H = 0 \quad B_E^H = g \theta \quad B_p^H = B_W^H + B_E^H \quad (16)$$

$$S_u = \frac{\Delta x_p}{\Delta t} V_p^{n-1} + g \gamma \theta \left[ (H_e^*)_{up} - (H_e^* - H_w^*)_{HOS} \right] - g (1-\theta) (H_e^{n-1} - H_w^{n-1}) - \frac{f}{2D} (1-\theta) V_p^{n-1} |V_p^*| \Delta x_p \quad (17)$$

برای حل معادلات می‌توان در هر گام زمانی، با استفاده از آخرین مقادیر  $V$  موجود، معادله پیوستگی را حل کرد و مقدار  $H$  را در هر گره به دست آورد. سپس، با استفاده از این مقادیر  $H$  معادله اندازه حرکت را حل کرد و مقادیر  $V$  را به دست آورد. می‌توان این فرآیند را تا رسیدن به همگرایی در آن گام زمانی تکرار کرد. شرط همگرایی به صورت زیر تعریف می‌شود:

در ابتدای هر گام زمانی مقدار باقی‌مانده معادلات (۶) و (۱۳) محاسبه می‌شود و به عنوان  $Res_{0C}$  و  $Res_{0M}$  ذخیره می‌شود. در هر تکرار مقدار باقی‌مانده به همین روش محاسبه می‌شود و به عنوان  $Res_C$  و  $Res_M$  شناخته می‌شود. در انتهای هر تکرار با کنترل شرط همگرایی ادامه‌ی تکرارها یا پایان آن بررسی می‌شود. شرط همگرایی عبارت است از:

$$\frac{Res_C}{Res_{0C}} < 10^{-6} \quad \text{و} \quad \frac{Res_M}{Res_{0M}} < 10^{-6} \quad (۱۸)$$

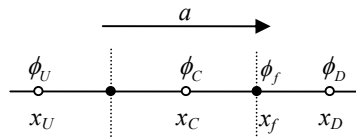
برای اضافه کردن جمله با دقت بالاتر ( $HOS$ ) می‌توان از محدود کننده‌های مختلفی از جمله  $OSHES$ ,  $MUSCL$ ,  $MINMOD$  و ... استفاده کرد. محدود کننده  $MINMOD$  که به نام  $SOURCE$  نیز خوانده می‌شود، با رابطه‌ی زیر تعریف می‌شود:

$$\phi_{mg}(u, \theta) = \min \operatorname{mod}\left(\theta \frac{u - u_{i-1}}{\Delta x}, \frac{u_{i+1} - u_{i-1}}{2\Delta x}, \theta \frac{u_{i+1} - u_i}{\Delta x}\right)$$

$$\min \operatorname{mod}(z_1, z_2, \dots) := \begin{cases} \min_j & \text{if } z_j > 0 \quad \forall j \\ \max_j & \text{if } z_j < 0 \quad \forall j \\ 0 & \text{otherwise} \end{cases} \quad (۱۹)$$

برای تعریف شرط همگرایی و پایداری محدود کننده می‌توان از نمودار  $NVD^1$  استفاده کرد. برای این امر لازم است متغیرهای نرمال<sup>۲</sup> تعریف شوند. مطابق شکل (۲) اگر نقاط بالادست، مرکزی، پایین دست و بین گرهی با حروف  $C, D, U$ ،  $x_f, x_C, x_D, x_U$  و  $\phi_f, \phi_C, \phi_D, \phi_U$  شناخته شوند، فاصله‌ی هر کدام با مبدأ مختصات به ترتیب به صورت  $x_f, x_C, x_D, x_U$  و مقادیر پارامتر مورد نظر ( $\phi$ ) در هر یک از نقاط به ترتیب با  $\phi_f, \phi_C, \phi_D, \phi_U$  شناخته می‌شوند. بدین ترتیب مقادیر متغیرهای نرمال شده به ترتیب زیر تعریف می‌شود:

$$\tilde{\phi} = \frac{\phi - \phi_U}{\phi_D - \phi_U} \quad \tilde{x} = \frac{x - x_U}{x_D - x_U} \quad (۲۰)$$



شکل ۲: نقاط مورد استفاده در درون یابی  $\phi_f$

استفاده از پارامترهای نرمال شده بالا، اوله روش‌های ساده یا پیچیده با دقت مرتبه بالا به صورت یک تابع را آسان می‌کند و اوله‌ی شرط لازم برای پایداری و کرانداری حل را میسر می‌سازد. به علاوه، رابطه تابعی نرمال شده هر روش می‌تواند در یک نمودار متغیر نرمال ( $NVD$ ) نمایش داده شود. چنین نموداری ابزاری مفید برای ارزیابی دقت، کرانداری<sup>۳</sup> و پراکندگی نسبی روش‌های مختلف است. به طور کلی مقدار  $\phi$  به وسیله‌ی رابطه پارامتری زیر نمایش داده می‌شود:

$$\phi_f = f(\phi_U, \phi_C, \phi_D, x_f, x_C, x_D, x_U) \quad (۲۱)$$

که با انجام نرمال‌سازی به صورت زیر ساده می‌شود:

$$\tilde{\phi}_f = f(\tilde{\phi}_C, \tilde{x}_C, \tilde{x}_f) \quad (۲۲)$$

<sup>1</sup> Normalized Variable Diagram

<sup>2</sup> Normalized Variables

<sup>3</sup> Boundedness

با مقایسه روابط (۲۱) و (۲۲) بسادگی می‌توان دریافت که یکی از فواید به کارگیری روش نرمال‌سازی کاهش تعداد پارامترهای موجود در رابطه تابعی است. این امر به خاطر مقادیر نرمال‌شده  $\tilde{x}_D, \tilde{x}_U, \tilde{\phi}_D, \tilde{\phi}_U$  است که به ترتیب با  $0, 1, 0, 1$  برابرند. از طرف دیگر اگر شبکه‌بندی منظم باشد، مقادیر  $\tilde{x}_C, \tilde{\phi}_C$  نیز به ترتیب با  $0.5$  و  $0.75$  برابر خواهند بود.

شرط کرانداری مطابق مرجع [۱۴] اعمال می‌شود. بدین ترتیب که هر روش برای این که حائز کرانداری باشد، باید در فاصله  $1 < \tilde{\phi}_C < 0$  دارای رابطه تابعی پیوسته و کراندار از پایین به  $\tilde{\phi}_f = \tilde{\phi}_C$  و از بالا به  $1$  باشد. همچنین، باید از نقطه  $(0, 0)$  و  $(1, 1)$  عبور کرده و در ناحیه  $0 < \tilde{\phi}_C < 1$  رابطه تابعی آن با  $\tilde{\phi}_f$  برابر باشد. چنین شرایطی را به بیان ریاضی می‌توان این گونه نوشت:

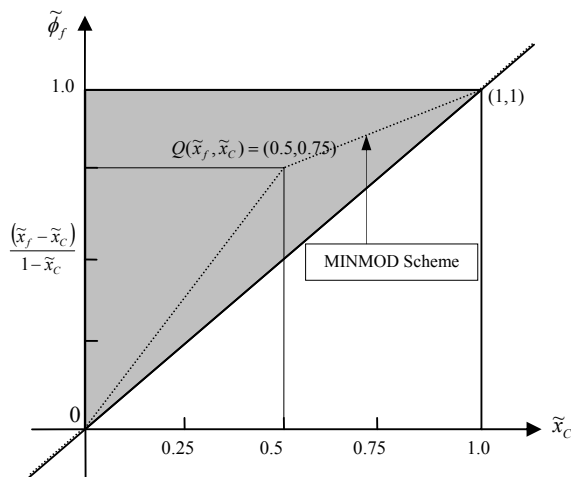
$$\begin{cases} f(\tilde{\phi}_C) & \text{پیوسته باشد} \\ f(\tilde{\phi}_C) = 0 & \tilde{\phi}_C = 0 \\ f(\tilde{\phi}_C) = 1 & \tilde{\phi}_C = 1 \\ f(\tilde{\phi}_C) < 1 & 0 < \tilde{\phi}_C < 1 \\ f(\tilde{\phi}_C) = \tilde{\phi}_C & \tilde{\phi}_C < 0, \tilde{\phi}_C > 1 \end{cases} \quad (۲۳)$$

شرایط بالا را می‌توان مطابق شکل (۳) در یک نمودار متغیرهای نرمال شده ( $NVD$ ) نمایش داد. بدین ترتیب می‌توان روش‌های مختلف از

جمله  $MINMOD$  را به صورت نرمال‌شده نوشت. در این صورت رابطه تابعی این روش به صورت زیر نوشته می‌شود:

$$\begin{aligned} \tilde{\phi}_f &= \frac{\tilde{x}_f}{\tilde{x}_C} \tilde{\phi}_C & 0 < \tilde{\phi}_C < \tilde{x}_C \\ \tilde{\phi}_f &= \frac{\tilde{x}_C - \tilde{x}_f}{\tilde{x}_C - 1} + \frac{\tilde{x}_f - 1}{\tilde{x}_C - 1} \tilde{\phi}_C & \tilde{x}_C < \tilde{\phi}_C < 1 \\ \tilde{\phi}_f &= \tilde{\phi}_C & \text{سایر نقاط} \end{aligned} \quad (۲۴)$$

در شکل (۳) می‌توان رابطه تابعی بالا را مشاهده کرد.



شکل ۳: نمودار متغیرهای نرمال شده و نمایش روش  $MINMOD$

از سوی دیگر شرط اینکه روش، حداقل از مرتبه دوم باشد این است که در نمودار متغیرهای نرمال شده از نقطه  $(0.5, 0.75) = Q(\tilde{x}_f, \tilde{x}_C)$  عبور نماید. همچنین، شرط اینکه روش حداقل از مرتبه سوم باشد این است که شیب آن در این نقطه با  $M = \frac{\tilde{x}_f(\tilde{x}_f - 1)}{\tilde{x}_C(\tilde{x}_C - 1)}$  باشد. همان‌گونه که در

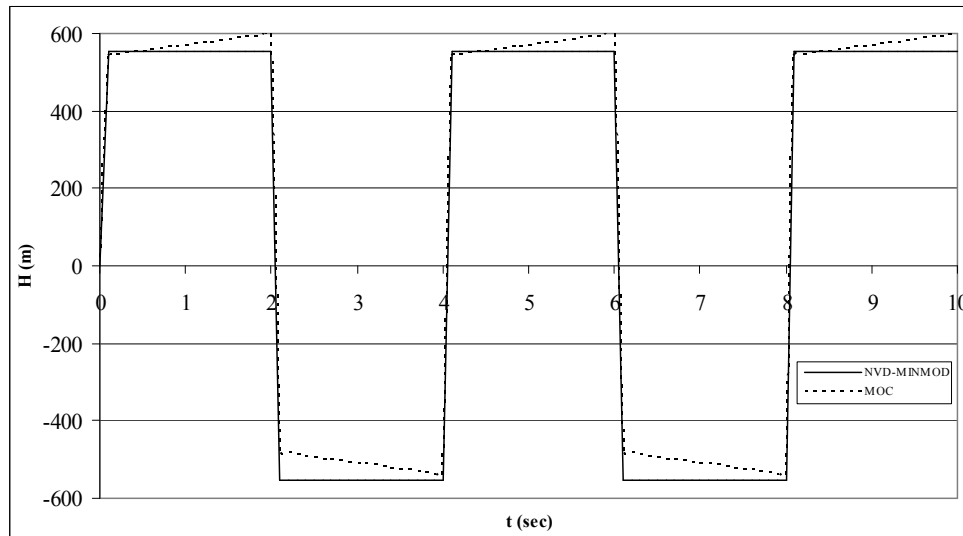
شکل (۳) دیده می‌شود، شرط کرانداری و مرتبه دوم بودن برای روش  $MINMOD$  برقرار است. در این پژوهش، از روش  $MINMOD$  برای افزودن دقت مرتبه دوم به حل استفاده شده است.

#### ۴. تحلیل نتایج

در این بخش به ارزیابی و مقایسه نتایج مدل حاضر و نتایج حاصل از مدل‌های پیشین پرداخته خواهد شد. نرم افزار مورد استفاده در محیط MATLAB و بر اساس گسترش‌سازی ارائه شده در بخش قبل، تدوین شده است که در آن جملات زمانی به روش یک گامی  $\theta$  و جملات مکانی بر اساس روش MINMOD و جملات چشم‌های چاه بر اساس دقت مرتبه دوم گسترش‌سازی شده‌اند.

مثال بررسی شده مخزنی با ارتفاع اولیه  $30$  متر، لوله‌ای افقی و بدون اصطکاک به قطر  $5/0$  متر و به طول  $1000$  متر، و شیری در پایین دست لوله درنظر گرفته شده است. سرعت موج  $a = 1000 m$  فرض شده است. سرعت اولیه جریان نیز با استفاده از حل مسئله در حالت پایدار،  $5/42$  متر بر ثانیه بدست آمده است. شرایط مرزی در دو طرف بر اساس روش مشخصه‌ها اعمال شده است.

مدل در حالتی که شیر به طور ناگهانی بسته شود اجرا شده است. نتایج اجرای مدل بر پایه روش ارائه شده در این پژوهش و همچنین مدل ساخته شده بر پایه روش مشخصه‌ها در شکل (۴) مقایسه شده‌اند. در این شکل، مقدار هد فشاری در گرهی شیر نمایش داده شده است. لازم به ذکر است که در هر دو روش  $m = 100$  و  $\Delta t = 0.1 \text{ sec}$  و  $\Delta x = 100$  است که بدین ترتیب عدد کورانت برابر با  $Cr = 1.0$  خواهد شد.



شکل ۴: مقایسه نتایج هد فشار در محل شیر از مدل فعلی و روش مشخصه‌ها در شرایط  $Cr = 1.0$

همان‌گونه که در شکل (۴) دیده می‌شود، روش حاضر در پیش‌بینی هد فشار حداکثر کاراتر عمل می‌کند. همچنین، با وجود تقسیم‌بندی نسبتاً بزرگ بر روی شبکه حل، نتایج از همگرایی و پایداری خوبی برخوردار است.

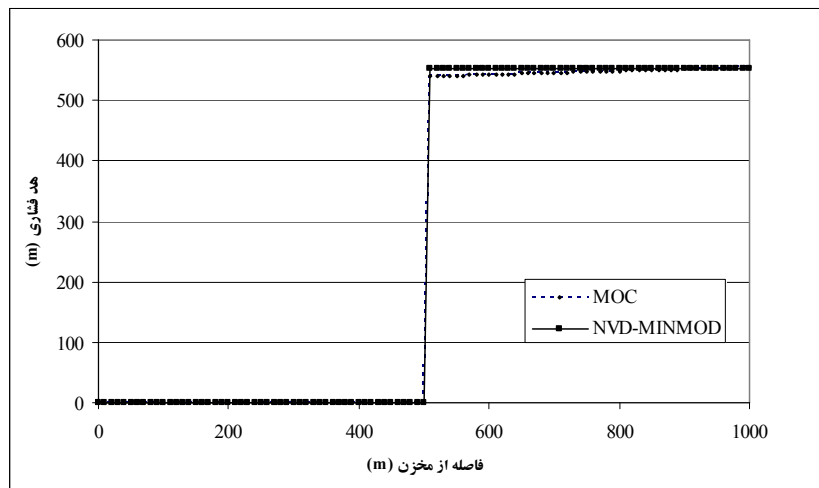
در مدل دوم برای بررسی کارایی مدل در برخورد با گرادیان‌های بالا، از شبکه‌بندی با ابعاد کوچک‌تر و  $\Delta x = 10 \text{ m}$  استفاده شد. همچنین، برای برقراری شرط کورانت و تضمین پایداری حل، گام‌های زمانی نیز بهمین نسبت کوچک‌تر انتخاب شدند. با اجرای مدل نتایج حاصل از مدل حاضر با روش مشخصه‌ها مقایسه گردید.

شکل (۵) میزان هد فشاری در نقاط مختلف لوله را در زمان  $t = 0.5 \text{ sec}$  نمایش می‌دهد. همان‌گونه که از شکل برمی‌آید، مدل تهیه شده در مواجهه با گرادیان‌های بالا آن‌ها را بخوبی مدل‌سازی می‌نماید و هیچ‌گونه undershoot یا overshoot در نتایج حل دیده نمی‌شود.

#### ۵. نتیجه‌گیری

با توجه به نتایج بدست آمده از اجرای مدل در شرایط مختلف معلوم شد که با افزایش تعداد تقسیمات لوله، دقت در حل مسئله افزایش می‌یابد. همچنین، مشخص گردید که برای حفظ پایداری در حل مسئله، بهتر است عدد کورانت هرچه به  $1/0$  نزدیک‌تر انتخاب گردد. از سوی دیگر، این روش به لحاظ

زمان حل بسیار کنتر از سایر روش‌های معمول است. اما با این وجود به نظر می‌رسد در صورت وجود برخی شرایط مرزی پیچیده، بخارط دقت بالاتر استفاده از این روش به صرفه باشد.



شکل ۵: مقایسه میزان هد فشاری در طول لوله در زمان  $t = 0.5 \text{ sec}$

## مراجع

- [۱] تائبی، ا.، چمنی، م. ر.، «شبکه‌های توزیع آب شهری»، انتشارات دانشگاه صنعتی اصفهان، ۱۳۸۲.
- [۲] رستمی، ع.، چمنی، م. ر.، اصغری، ک.، «کاربرد درون یابی اسپلاین درجه سه در روش مشخصه‌ها برای حل ضربه قوچ»، ششمین کنفرانس بین‌المللی مهندسی عمران، ۱۷-۱۵ اردیبهشت ۱۳۸۲، دانشگاه صنعتی اصفهان.
- [3] Ghidaoui, M. S., Zhao, M., McInnis, D. A., Axworthy, D. H., (2004), "A Review of Water Hammer Theory and Practice", *American Society of Mechanical Engineering (ASME)*, 58(1), 49-76.
- [4] Guinot, V., (2000), "Riemann Solvers for Water Hammer Simulations by Godunov Method", *Intl. J. Numer. Meth. Eng.*, 49(7), 851-870.
- [5] Guinot, V. (2002), "An Unconditionally Stable Explicit Godunov Scheme for Systems of Conservation Laws", *Int. J. Numer. Meth. Fluids*, 38, 567-588.
- [6] Hwang, W. H., and Chung, N. M., (2002), "A Fast Godunov Method for the Water-Hammer Problem", *Intl. J. Numer. Meth. Fluids*, 40(6), 799-819.
- [7] Zhao, M., and Ghidaoui, M., (2004), "Godunov-Type Solutions for Water Hammer Flows", *J. Hydra. Eng.*, ASCE, 130(4), 341-348.
- [8] Leon, A. S., Ghidaoui, M. S., Schmidt, A. R., and García, M. H. (2006), "Godunov-Type Solution for Transient Flows in Sewers", *J. Hydra. Eng.*, ASCE, 132(8), 800-813.
- [9] León, A. S., Ghidaoui, M. S., Schmidt, A. R., and García, M. H. (2007), "Godunov-Type Solutions for Two-Phase Water Hammer Flows" *Fifth International Symposium on Environmental Hydraulics*, Tempe, Arizona, USA. Dec. 4-7.
- [10] Toro, E. F., and Garcia-Navarro, P. (2007), "Godunov-Type Methods for Free-Surface Shallow Flows: A Review", *J. Hydra. Res.*, 45(6), 736-751.
- [11] Darwish, M. S., Moukalled, F. H. (2003), "Normalized Variable and Space Formulation Methodology for High-Resolution Schemes", *Numer. Heat Transfer, Part B: Fundamentals*, 26(1), 79-96.
- [12] Darwish, M. S., Moukalled, F. H. (2003), "The  $\chi$ -Schemes: A New Consistent High-Resolution Formulation Based on the Normalized Variable Methodology", *Computer Methods in Applied Mechanics and Engineering*, 192(13-14), 1711-1730.
- [13] Gustafsson B., Hemmingsson-Frändén, L., (2002), "Deferred Correction in Space and Time", *J. Scientific Computing*, 17(10), 541-550.
- [14] Gaskell P. H., and Lau A. K. C. (1988), "Curvature Compensated Convective Transport: SMART, A New Boundedness Preserving Transport Algorithm", *Int. J. Num. Meth. Fluids*, 8, 617-641.